



ÉCOLE POLYTECHNIQUE DE TUNISIE

TP ELEMENT FINI

---

## Compte rendu final TP element fini

---

*Travail de :*

Mohamed SAIDI

Travail encadré par : Mme REZGUI Taysir

## Table des matières

<b>1</b>	<b>Introduction</b>	<b>2</b>
<b>2</b>	<b>Objectif du TP</b>	<b>2</b>
<b>3</b>	<b>Matrice de rigidité et vecteur force élémentaire</b>	<b>3</b>
3.1	Implémentation des fonctions psi et ses dérivés secondes . . . . .	3
3.2	Matrice de rigidité élémentaire . . . . .	4
3.3	Vecteur force élémentaire . . . . .	5
<b>4</b>	<b>Assemblage et conditions aux limites</b>	<b>6</b>
4.1	Assemblage de la matrice de rigidité et du vecteur force . . . . .	6
4.2	Application des conditions aux limites : . . . . .	9
<b>5</b>	<b>Solution en déplacement et post traitement</b>	<b>9</b>
5.1	Résolution de système . . . . .	9
5.2	Post-traitement . . . . .	11
<b>6</b>	<b>Exemple d'exécution</b>	<b>16</b>
<b>7</b>	<b>Conclusion</b>	<b>18</b>

# 1 Introduction

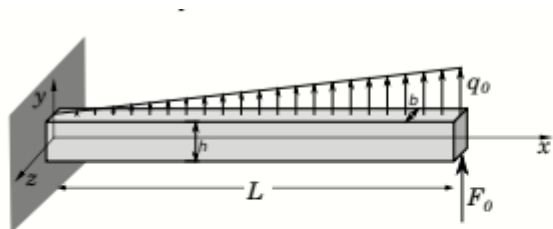
Pour analyser un phénomène naturel en général ou un problème d'ingénierie en particulier, on est souvent amené à développer un modèle mathématique pouvant décrire d'une manière aussi fiable que possible le problème en question. La méthode des éléments finis est l'une des techniques numériques les plus puissantes.

Concrètement, cela permet par exemple de calculer numériquement le comportement d'objets même très complexes. Ainsi, toute forme complexe d'un domaine géométrique ou un problème qui soit bien posé avec toutes les conditions aux limites, peut être résolu par la méthode des éléments finis.

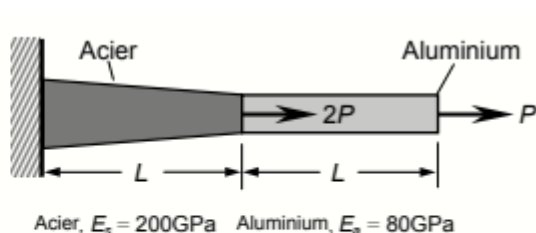
## 2 Objectif du TP

L'objectif des différents TPs est l'élaboration d'un code de calcul par éléments finis pour le dimensionnement d'une structure 1D soumise à des chargements extérieurs permettant de calculer d'une part les déplacements, les contraintes les efforts tranchants et les moments fléchissant c'est le post-traitement. D'autre part, comparer les résultats obtenus avec les résultats exactes et tirer donc des conclusions.

On va travailler sur ces structures :



Avec  $E = 200 \text{ GPa}$ ,  $I_{Gz} = 29 \times 10^{-6} \text{ m}^4$ ,  $h = 150 \text{ mm}$ ,  $L = 1 \text{ m}$ ,  $F_0 = 100 \text{ N}$ ,  $q_0 = 2.4 \text{ kN/m}$



Avec  $P = 10 \text{ kN}$ ,  $A_0 = 10 \text{ cm}^3$ ,  $A_L = 5 \text{ cm}^3$  et  $L = 100 \text{ cm}$

```
ans =
    6.9603e+07    3.4802e+07   -6.9603e+07    3.4802e+07
    3.4802e+07    2.3201e+07   -3.4802e+07    1.1601e+07
   -6.9603e+07   -3.4802e+07    6.9603e+07   -3.4802e+07
    3.4802e+07    1.1601e+07   -3.4802e+07    2.3201e+07

ans =
    359.995    80.000    200.025   -119.995
```

```
ans =
    1.4985e+06   -1.4985e+06
   -1.4985e+06    1.4985e+06

ans =
    0    0
```

FIGURE 1 – Exemple de test de ces deux structures

### 3 Matrice de rigidité et vecteur force élémentaire

#### 3.1 Implémentation des fonctions psi et ses dérivés secondes

Les fonctions psi sont définies de la manière suivante :

$$\begin{aligned}\psi_1^e(\bar{x}) &= 1 - \frac{3\bar{x}^2}{h_e^2} + \frac{2\bar{x}^3}{h_e^3} \\ \psi_2^e(\bar{x}) &= \bar{x} - \frac{2\bar{x}^2}{h_e} + \frac{\bar{x}^3}{h_e^2} \\ \psi_3^e(\bar{x}) &= \frac{3\bar{x}^2}{h_e^2} - \frac{2\bar{x}^3}{h_e^3} \\ \psi_4^e(\bar{x}) &= -\frac{\bar{x}^2}{h_e} + \frac{\bar{x}^3}{h_e^2}\end{aligned}$$

FIGURE 2 – Pour la poutre en flexion

$$\begin{aligned}\psi_1(x) &= 1 - \frac{x}{h} \\ \psi_2(x) &= \frac{x}{h}\end{aligned}$$

FIGURE 3 – Pour la barre en traction ou compression

Ces fonctions sont programmées de la manière suivante :

```
15 function y=psi(i,x,h)
16     if (i==1)
17         y=1-3*(x/h)^2+2*(x/h)^3;
18     elseif (i==2)
19         y=x-2*(x^2)/h+(x^3)/h^2;
20     elseif (i==3)
21         y=3*(x/h)^2-2*(x/h);
22     else
23         y=-x^2/h+x^3/h^2;
24     endif
25 endfunction
26 function y=dpsi(i,x,h)
27     if (i==1)
28         y=-6/h^2 + 12*x/h^3;
29     elseif (i==2)
30         y=-4/h + 6*x/h^2;
31     elseif (i==3)
32         y=6/h^2 -12*x/h^3;
33     else
34         y=-2/h + 6*x/h^2;
35     endif
36 endfunction
```

FIGURE 4 – Code octave

```

38 function y=psii(i,x,h)
39     if (i==1)
40         y=1-x/h ;
41     else
42         y=x/h;
43     endif
44 endfunction
45 function y=dpsii(i,x,h)
46     if (i==1)
47         y=-1/h;
48     else
49         y=1/h;
50     endif
51 endfunction

```

FIGURE 5 – Code octave

### 3.2 Matrice de rigidité élémentaire

Dans le repère local où  $x$  varie entre 0 et  $h_e$  les éléments du matrice  $K$  sont définis par :

$$K_{ij}^e = \int_0^{h_e} E(\bar{x}) I_{Gz}(\bar{x}) \psi_i^{e''}(\bar{x}) \psi_j^{e''}(\bar{x}) d\bar{x}$$

FIGURE 6 – Matrice de rigidité élémentaire

$$K_{ij}^e = EA \int_0^{h_e} \psi_i^{e'} \psi_j^{e'} d\bar{x}$$

FIGURE 7 – Matrice de rigidité élémentaire

Si  $EA$  n'est constant il suffit de le faire entrer dans l'intégrale

Par un changement de variables dans l'intégrale on peut alors implémenter la fonction  $[Ke] = Kele(x1,x2,EI,EA)$  :

```

30 function [Ke]=Kele (x1,x2,EI,EA)
31     global l;
32     if (l==1)
33         for i=1:4
34             for j=1:4
35                 x=0:0.005:x2-x1;
36                 for k=1:length(x)
37                     y(k)=EI (x(k)) *dpsi (i,x(k),x2-x1) *dpsi (j,x(k),x2-x1);
38                 endfor
39                 Ke (i,j)=trapz (x,y);
40             endfor
41         endfor
42     elseif (l==0)
43         for i=1:2
44             for j=1:2
45                 x=0:0.005:x2-x1;
46                 for k=1:length(x)
47                     y(k)=EA (x(k)) *dpsii (i,x(k),x2-x1) *dpsii (j,x(k),x2-x1);
48                 endfor
49                 Ke (i,j)=trapz (x,y);
50             endfor
51         endfor
52     endif
53 endfunction

```

FIGURE 8 – Code octave

### 3.3 Vecteur force élémentaire

Dans le repère local où  $x$  varie entre 0 et  $h_e$  les éléments du Vecteur force élémentaire sont définis par :

$$f_i^e = \int_0^{h_e} \psi_i^e q d\bar{x}$$

FIGURE 9 – Vecteur force élémentaire

$$f_i^e = Af \int_0^{h_e} \psi_i^e d\bar{x}$$

FIGURE 10 – Vecteur force élémentaire

Par conséquent la fonction  $[fe] = fele(x1,x2,q,S)$  est comme ceci :

```

111 function[fe]=fele(x1,x2,q,S)
112     global l;
113     global fv;
114     if (l==1)
115         for i=1:4
116             x=0:0.005:x2-x1;
117             for k=1:length(x)
118                 y(k)=psi(i,x(k),x2-x1)*q(x(k)+x1);
119             endfor
120             fe(i)=trapz(x,y);
121         endfor
122     elseif (l==0)
123         for i=1:2
124             x=0:0.005:x2-x1;
125             for k=1:length(x)
126                 y(k)=psi(i,x(k),x2-x1)*fv*S(x(k));
127             endfor
128             fe(i)=trapz(x,y);
129         endfor
130     endif
131 endfunction

```

FIGURE 11 – Vecteur force élémentaire

## 4 Assemblage et conditions aux limites

Dans cette partie nous allons construire le système matriciel à résoudre pour la poutre en flexion en utilisant deux types de maillages :

- Un maillage régulier à éléments d'Hermite P3 avec  $n_h$  éléments de même longueur  $h_1 = h_2 = \dots = h_{n_h} = L/n_h$ . Les noeuds sont donc situés aux positions :

$$x_i = (i-1) \frac{L}{n_h}, \quad i = 1, \dots, n_h + 1$$

FIGURE 12 – Maillage régulier

- Un maillage variable à éléments d'Hermite P3 avec  $n_h$  éléments dont les noeuds sont situés aux positions :

$$x_i = \frac{L}{2} \left( 1 - \cos \left( \frac{i-1}{n_h} \pi \right) \right), \quad i = 1, \dots, n_h + 1$$

FIGURE 13 – Maillage variable

### 4.1 Assemblage de la matrice de rigidité et du vecteur force

Pour imposer les conditions d'équilibre, il est nécessaire d'additionner les 3eme et 4eme lignes de l'élément  $e$  à la 1ere et 2eme lignes de l'élément  $e + 1$ , on aura donc la forme globale de la matrice de rigidité suivante :

$$[K] = \begin{bmatrix} K_{11}^1 & K_{12}^1 & K_{13}^1 & K_{14}^1 & 0 & 0 & \cdots \\ K_{12}^1 & K_{22}^1 & K_{23}^1 & K_{24}^1 & 0 & 0 & \cdots \\ K_{13}^1 & K_{23}^1 & K_{33}^1 + K_{11}^2 & K_{34}^1 + K_{12}^2 & K_{13}^2 & K_{14}^2 & \cdots \\ K_{14}^1 & K_{24}^1 & K_{34}^1 + K_{12}^2 & K_{44}^1 + K_{22}^2 & K_{23}^2 & K_{24}^2 & \cdots \\ 0 & 0 & K_{13}^2 & K_{23}^2 & K_{33}^2 + K_{11}^3 & K_{34}^2 + K_{12}^3 & \cdots \\ 0 & 0 & K_{14}^2 & K_{24}^2 & K_{34}^2 + K_{12}^3 & K_{44}^2 + K_{22}^3 & \cdots \\ \vdots & \vdots & \vdots & \vdots & \vdots & \vdots & \ddots \end{bmatrix}$$

FIGURE 14 – Assemblage pour la poutre en flexion

Pour imposer les conditions d'équilibre, il est nécessaire d'additionner le 2eme ligne de l'élément e à la 1ere ligne de l'élément e + 1, on aura donc la forme globale de la matrice de rigidité suivante :

$$\begin{bmatrix} K_{11}^1 & K_{12}^1 & & & 0 \\ K_{21}^1 & K_{22}^1 + K_{11}^2 & K_{12}^2 & & \\ & K_{21}^2 & K_{22}^2 + K_{11}^3 & K_{12}^3 & \\ \vdots & \vdots & \vdots & \vdots & \vdots \\ & & K_{21}^{n_h-1} & K_{22}^{n_h-1} + K_{11}^{n_h} & K_{12}^{n_h} \\ 0 & & & K_{21}^{n_h} & K_{22}^{n_h} \end{bmatrix}$$

FIGURE 15 – Assemblage pour la barre en traction

Et le vecteur de force généralisée est décrit par :

$$\{f\} = \left\{ f_1^1, f_2^1, f_3^1 + f_1^2, f_4^1 + f_2^2, \dots, f_4^{n_h-1} + f_2^{n_h}, f_3^{n_h}, f_4^{n_h} \right\}^T$$

FIGURE 16 – Assemblage pour la poutre en traction

$$\begin{bmatrix} f_1^1 \\ f_2^1 + f_1^2 \\ f_2^2 + f_1^3 \\ \vdots \\ f_2^{n_h-1} + f_1^{n_h} \\ f_2^{n_h} \end{bmatrix}$$

FIGURE 17 – Assemblage pour la barre en traction

Donc en utilisant les fonction ( fele et Kele ) développées précédemment on écrit les fonctions rigid , force :

Pour le maillage regulier :



```

144 function K=rigid_regulier(nh)
145     global l;
146     if (l==1)
147         K=zeros(2*nh+2,2*nh+2);
148         x=mailleregulier(nh);
149         j=1;
150         for i=1:2:2*nh-1
151             K([i i+1 i+2 i+3],[i i+1 i+2 i+3])+=Kele(x(j),x(j+1),@EI,@EA);
152             j=j+1;
153         endfor
154     else
155         K=zeros(nh+1,nh+1);
156         x=mailleregulier(nh);
157         j=1;
158         for i=1:1:nh
159             K([i i+1],[i i+1])+=Kele(x(j),x(j+1),@EI,@EA);
160             j=j+1;
161         endfor
162     endif
163 endfunction

```

FIGURE 18 – Code octave

```

184 function f=force_regulier(nh)
185     global l;
186     if(l==1)
187         f=zeros(2*nh+2,1);
188         x=mailleregulier(nh);
189         j=1;
190         for i=1:2:2*nh-1
191             f([i i+1 i+2 i+3])+=fele(x(j),x(j+1),@q)';
192             j=j+1;
193         endfor
194     else
195         f=zeros(nh+1,1);
196         x=mailleregulier(nh);
197         j=1;
198         for i=1:1:nh
199             f([i i+1])+=fele(x(j),x(j+1),@q)';
200             j=j+1;
201         endfor
202     endif
203 endfunction

```

FIGURE 19 – Code octave

Pour le maillage variable :

```

204 function f=force_variable(nh)
205     global l;
206     if(l==1)
207         x=maillevariable(nh);
208         f=zeros(2*nh+2,1);
209         j=1;
210         for i=1:2:2*nh-1
211             f([i i+1 i+2 i+3])+=fele(x(j),x(j+1),@q,@S)';
212             j=j+1;
213         endfor
214     else
215         x=maillevariable(nh);
216         f=zeros(nh+1,1);
217         j=1;
218         for i=1:1:nh
219             f([i i+1])+=fele(x(j),x(j+1),@q,@S)';
220             j=j+1;
221         endfor
222     endif
223 endfunction

```

FIGURE 20 – Code octave

```

164 function K=rigid_variable(nh)
165     global l;
166     if (l==1)
167         K=zeros(2*nh+2,2*nh+2);
168         x=maillagevariable(nh);
169         j=1;
170         for i=1:2:2*nh-1
171             K([i i+1 i+2 i+3],[i i+1 i+2 i+3])+=Kele(x(j),x(j+1),@EI,@EA);
172             j=j+1;
173         endfor
174     else
175         K=zeros(nh+1,nh+1);
176         x=maillagevariable(nh);
177         j=1;
178         for i=1:1:nh
179             K([i i+1],[i i+1])+=Kele(x(j),x(j+1),@EI,@EA);
180             j=j+1;
181         endfor
182     endif
183 endfunction

```

FIGURE 21 – Code octave

## 4.2 Application des conditions aux limites :

Pour le vecteur déplacement  $U$  en  $x=0$  la déformation et rotation sont nulles car il y a une liaison encastrement avec la poutre et le mur et les autres composantes sont inconnues. Pour le vecteur  $Q$  les deux premières composantes sont inconnues est la composante avant dernière est égale à  $F_0$  ( force ponctuelle appliquer en  $x = L$ ) et les autres composantes sont nulles.

```

225 %condition aux limites
226 #Q=zeros(2*nh+2,1);
227 #Q(2*nh+1)=F0;
228 #U=zeros(2*nh+2,1)|
229 %pour un maillage regulier

```

FIGURE 22 – Conditions aux limites

## 5 Solution en déplacement et post traitement

### 5.1 Résolution de système

Nous savons que  $K*U = f + Q$  donc  $U=inv(K)*(f+Q)$  :

Maillage régulier :

```

132 function[x]=mailleregulier(nh)
133     global L;
134     for i=1:nh+1
135         x(i)=(i-1)*(L/nh);
136     endfor
137 endfunction

```

FIGURE 23 – Maillage régulier

Maillage variable :

```

138 function[x]=maillagevariable(nh)
139     global L;
140     for i=1:nh+1
141         x(i)=(L/2)*(1 - @cos((i-1)*pi/nh));
142     endfor
143 endfunction

```

FIGURE 24 – Maillage variable

Déplacement pour les deux maillages :

```

230 function U=Umaillereg(nh)
231     global F0;
232     K=rigid_regulier(nh);
233     f=force_regulier(nh);
234     U=zeros(2*nh+2,1);
235     Q=zeros(2*nh+2,1);
236     Q(2*nh+1)=F0;
237     F=f+Q;
238     F([1 2])=[];
239     K(1,:)=[];
240     K(:,1)=[];
241     K(2,:)=[];
242     K(:,2)=[];
243     U(3:2*nh+2)=K\F; #condition aux limites ul ul' sont nulls
244 endfunction
245 %Pour un maillage variable
246 function U=Umaillagevar(nh)
247     global F0;
248     f=force_variable(nh);
249     K=rigid_variable(nh);
250     U=zeros(2*nh+2,1);
251     Q=zeros(2*nh+2,1);
252     Q(2*nh+1)=F0;
253     F=f+Q;
254     F([1 2])=[];
255     K(1,:)=[];
256     K(:,1)=[];
257     K(2,:)=[];
258     K(:,2)=[];
259     U(3:2*nh+2)=K\F;
260 endfunction

```

FIGURE 25 – Code octave

## 5.2 Post-traitement

Après avoir la solution on va comparer la déformation obtenu par la méthode des éléments finis avec la solution analytique suivante :

$$v(x) = \frac{F_0 x^2}{6EI} (3L - x) + \frac{q_0 L^4}{120EI} \left( 20 \frac{x^2}{L^2} - 10 \frac{x^3}{L^3} + \frac{x^5}{L^5} \right)$$

FIGURE 26 – Déplacement Analytique

On trace les deux courbes sur la même figure :

La solution analytique :

```

258 function y=v(x)
259     global E;
260     global F0;
261     global I;
262     global L;
263     global q0;
264     y= (F0/(6*E*I))*(x**2)*(3*L -x) + ((q0*L**4)/(120*E*I))* ( (20/L**2)*x**2 - (10/L**3)*x**3 + x**5/L**5);
265 endfunction
266 function y=dv(x)
267     global I;
268     global E;
269     global F0;
270     global q0;
271     global L;
272     y= (F0/(6*E*I))*((2*x)*(3*L -x)-x**2) + ((q0*L**4)/(120*E*I))* ( (40/L**2)*x - (30/L**3)*x**2 + 5*x**4/L**5);

```

FIGURE 27 – Code octave

Tracage des courbes :

```

299 X=[0:0.01:1];
300 figure('name','La déformée pour le deux types de maillages');
301 subplot(3,2,1);
302 #courbe analytique
303 for i=1:length(X)
304     V(i)=1000*v(X(i));
305 endfor
306 plot(X,V,'b')
307 hold on;
308 %Pour nh=10
309 U10=Umaillereg(10);
310 X10=mailleregulier(10);
311 plot(X10,1000*U10(1:2:22),'g');
312 legend({'la solution exacte','nh=10'});
313 title('La déformée de la poutre pour le maillage régulier');
314 subplot(3,2,2);
315 for i=1:length(X)
316     V(i)=1000*v(X(i));
317 endfor
318 plot(X,V,'b')
319 hold on;
320 % Pour nh=10
321 U10=Umaillavar(10);
322 X10=mailleregulier(10);
323 plot(X10,1000*U10(1:2:22),'g')
324 legend({'la solution exacte','nh=10'});
325 title('La déformée de la poutre en pour le maillage variable');

```

FIGURE 28 – Code octave

D'après ces figures on peut confirmer notre résolution car les deux courbes sont proche avec les deux maillages.

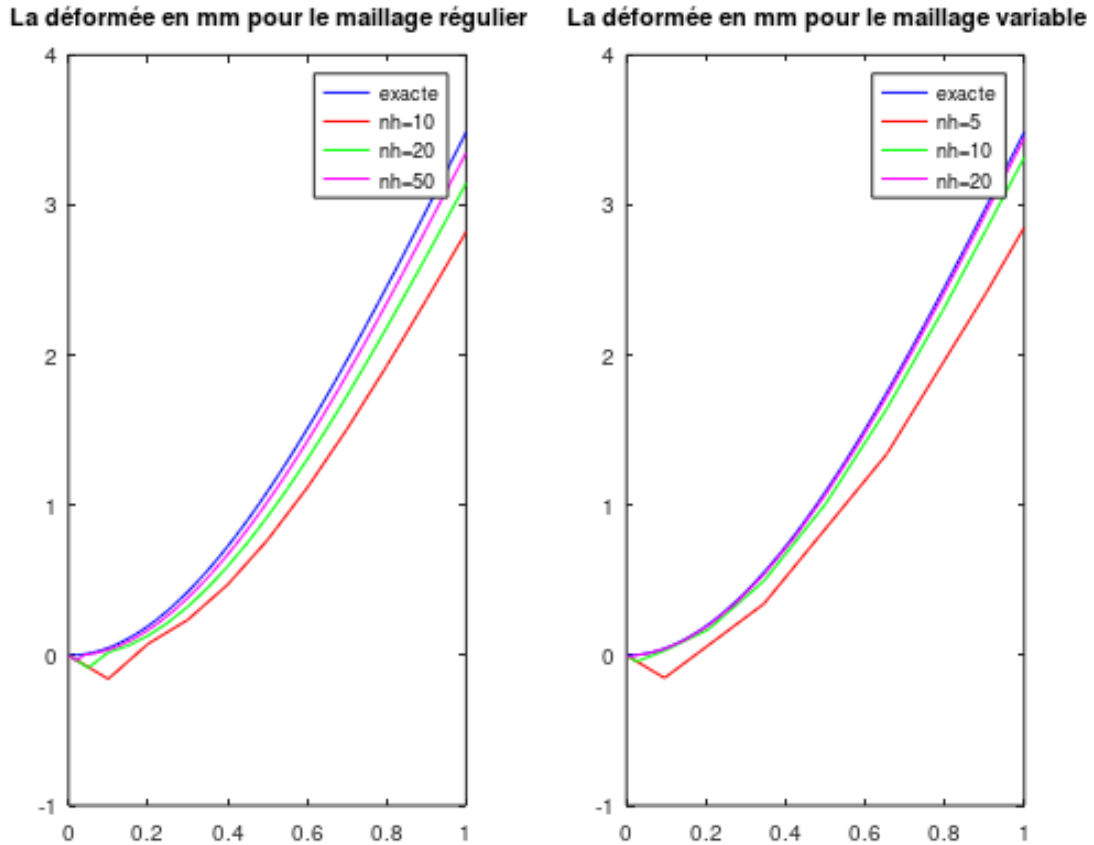


FIGURE 29 – Comparaison entre les différents type de déformée

En utilisant la solution trouvée et la forme locale de l'équilibre sur un élément ( $Q=K*U-F$ ) on peut calculer les variables secondaires dans un élément donné :

```

330 %Les variables secondaires
331
332 function Q=Qereg(e,nh)
333     x=mailleregulier(nh);
334     U=Umaillereg(nh);
335     Ke=Kele(x(e),x(e+1),@EI,@EA);
336     fe=fefe(x(e),x(e+1),@q,@S)';
337     Q=Ke*U([2*(e-1)+1 2*(e-1)+2 2*(e-1)+3 2*(e-1)+4]) - fe;
338 endfunction
339
340 function Q=Qevar(e,nh)
341     x=maillagevariable(nh);
342     U=Umaillagevar(nh);
343     Ke=Kele(x(e),x(e+1),@EI,@EA);
344     fe=fefe(x(e),x(e+1),@q,@S)';
345     Q=Ke*U([2*(e-1)+1 2*(e-1)+2 2*(e-1)+3 2*(e-1)+4]) - fe;
346 endfunction
347

```

FIGURE 30 – Code octave

A partir des variables secondaires trouvées on peut calculer les moments fléchissant et les efforts tranchants aux nœuds et on les compare avec les solutions analytiques :

D'où :

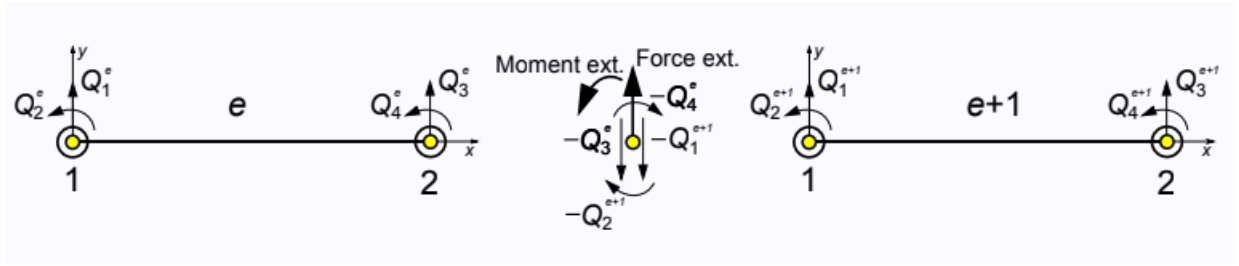


FIGURE 31 – Relation entre moment fléchissant et efforts tranchants

$$Q_1 = -T_y(0), \quad Q_2 = -M_{fz}(0), \quad Q_3 = T_y(h_e), \quad Q_4 = M_{fz}(h_e)$$

FIGURE 32 – Relation entre moment fléchissant et efforts tranchants

$$T_y(x) = F_0 + \frac{q_0 L}{2} \left( 1 - \frac{x^2}{L^2} \right)$$

$$M_{fz}(x) = F_0(L - x) + \frac{q_0 L^2}{6} \left( 2 - 3\frac{x}{L} + \frac{x^3}{L^3} \right)$$

FIGURE 33 – Solution analytique

Vecteur effort tranchant :

```
%vecteur effort tranchant
function Tyreg(nh)
    x=mailleregulier(nh);
    for i=1:length(x)-1
        Q=Qereg(i,length(x));
        T(i)=-Q(1);
    endfor
    T(length(x))=Q(3);
    plot(x(3:length(x)),T(3:length(x)))
endfunction
function Tyvar(nh)
    x=mailleregulier(nh);
    for i=1:length(x)-1
        Q=Qereg(i,length(x));
        T(i)=-Q(1);
    endfor
    T(length(x))=Q(3);
    plot(x(3:length(x)),T(3:length(x)))
endfunction
```

FIGURE 34 – Code octave

Vecteur moment fléchissant :

```

%vecteur moment flechissant
function Mfzreg(nh)
    x=mailleregulier(nh);
    for i=1:length(x)-1
        Q=Qereg(i,length(x));
        M(i)=-Q(2);
    endfor
    M(length(x))=Q(4);
    plot(x(3:length(x)),M(3:length(x)))
endfunction
function Mfzvar(nh)
    x=maillagevariable(nh);
    for i=1:length(x)-1
        Q=Qevar(i,length(x));
        M(i)=-Q(2);
    endfor
    M(length(x))=Q(4);
    plot(x(4:length(x)),M(4:length(x)))
endfunction

```

FIGURE 35 – Code octave

Pour le cas théorique le vecteur moment fléchissant et effort tranchant sont définis de la manière suivante :

```

274 function y=Ty(x)
275     global F0;
276     global q0;
277     global L;
278     y=F0+(q0*L/2)*(1-(x/L)**2);
279 endfunction
280 function y=Mfz(x)
281     global F0;
282     global q0;
283     global L;
284     y=F0*(L-x) + ((q0*L**2)/6)*(2 -3*x/L +(x/L)**3);
285 endfunction

```

FIGURE 36 – Code octave

Tracage des courbes :

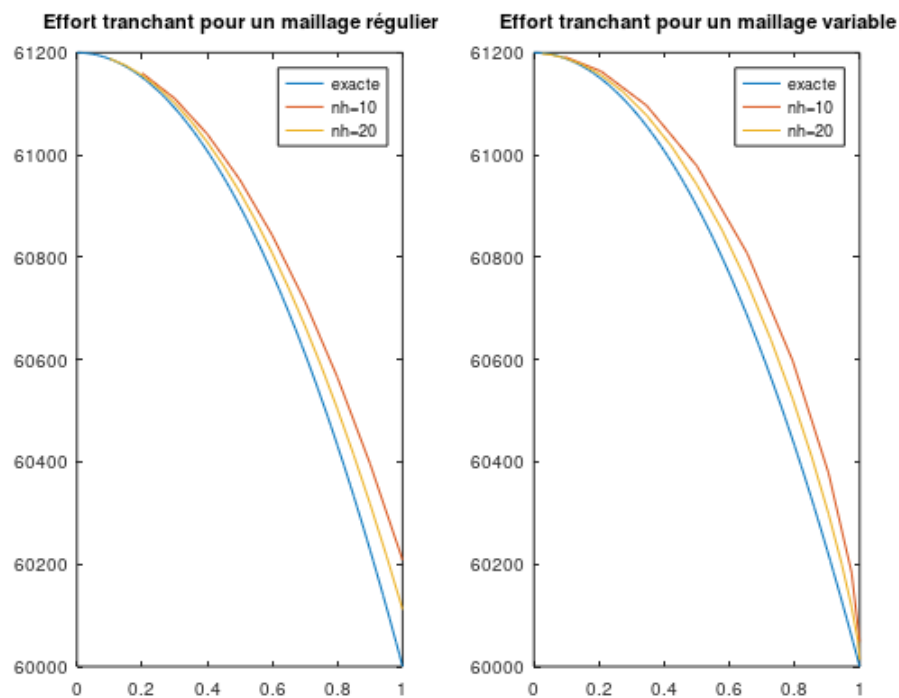


FIGURE 37 – Courbe des efforts tranchants

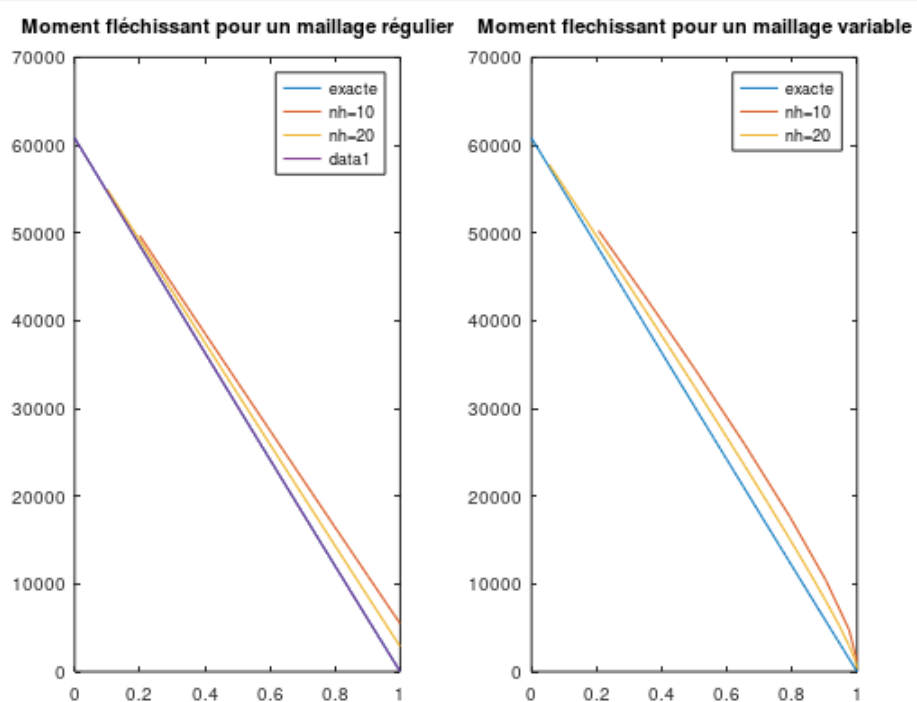


FIGURE 38 – Courbe des moments fléchissants



## 6 Exemple d'exécution

Pour le cas d'une poutre en flexion :

```
Si votre structure est soumise a une flexion tapez 1 sinon si ell est soumise a une compresion ou traction tapez 0
1
entrer E200e9
entrer I29e-6
entrer H150e-3
entrer L1
entrer F0100
entrer q02.4e3
entrer le nombre de noeuds5
```

FIGURE 39 – Menu principal de l'application

```
ans =
7.9145e+10 3.7984e+09 -7.9145e+10 3.7593e+09 0 0 0 0 0 0 0
3.7984e+09 2.4272e+08 -3.7984e+09 1.2000e+08 0 0 0 0 0 0 0
-7.9145e+10 -3.7984e+09 8.3603e+10 -3.2021e+09 -4.4580e+09 5.5725e+08 0 0 0 0 0
3.7593e+09 1.2000e+08 -3.2021e+09 3.3184e+08 -5.5725e+08 4.6456e+07 0 0 0 0 0
0 0 -4.4580e+09 -5.5725e+08 6.7282e+09 -2.0180e+08 -2.2703e+09 3.4610e+08 0 0 0
0 0 5.5725e+08 4.6456e+07 -2.0180e+08 1.6702e+08 -3.5545e+08 3.5672e+07 0 0 0
0 0 0 0 -2.2703e+09 -3.5545e+08 6.7282e+09 2.1115e+08 -4.4580e+09 5.5725e+08 0
0 0 0 0 3.4610e+08 3.5672e+07 2.1115e+08 1.6413e+08 -5.5725e+08 4.6456e+07 0
0 0 0 0 0 0 -4.4580e+09 -5.5725e+08 8.3603e+10 3.2412e+09 -7.9145e+10
0 0 0 0 0 0 5.5725e+08 4.6456e+07 3.2412e+09 3.3557e+08 -3.7984e+09
0 0 0 0 0 0 0 0 -7.9145e+10 -3.7984e+09 7.9145e+10
0 0 0 0 0 0 0 0 3.7593e+09 1.2000e+08 -3.7593e+09
```

FIGURE 40 – Matrice de rigidité

```
ans =
3.2775e+00
6.9655e-02
5.2880e+01
2.3392e+00
1.7502e+02
5.8901e+00
2.3187e+02
-6.9577e-01
1.1953e+02
-8.3372e+00
9.6386e-01
-1.7489e+00
```

FIGURE 41 – Vecteur force

```
ans =
0
0
-6.9770e-07
1.8519e-06
2.1020e-06
1.3838e-05
7.5898e-06
2.0478e-05
1.2905e-05
2.1647e-05
1.4976e-05
2.1698e-05
```

FIGURE 42 – Déplacement

Pour le cas d'une barre en traction :





les structures sont simples et peu complexes donc le maillage ne joue pas un rôle aussi important.

On remarque aussi d'après les graphes que plus le nombre des noeuds augmente pour les deux maillages plus l'erreur entre la solution en élément fini et la solution exacte diminue.

Pour le déplacement l'erreur est faible, il y a une petite déviation lorsque  $x$  s'approche de 0.

Pour le moment fléchissant l'erreur est aussi faible, il apparaît une déviation lorsque  $x$  est proche de  $L$ .

Pour l'effort tranchant la solution est pratiquement exacte et ceci d'autant qu'on augmente le nombre de noeuds.

Enfin la méthode des éléments fini est pratique et efficace qui permet de déterminer les comportements des structures. Toutefois, il faut avoir le maillage adéquat et les conditions nécessaires convenables.